

УДК 539.3

© 1996 г. С. А. КАБРИЦ, К. Ф. ЧЕРНЫХ

НЕЛИНЕЙНАЯ ТЕОРИЯ ИЗОТРОПНО УПРУГИХ ТОНКИХ ОБОЛОЧЕК С УЧЕТОМ ПОПЕРЕЧНОГО СДВИГА

Статья является логическим продолжением [1—3] по построению нелинейной теории оболочек из эластомеров. Здесь рассматривается уточненный вариант нелинейной теории, учитывающий как и в [1—3] «кинематическое» обжатие, так и поперечные сдвиги по модели типа Тимошенко.

С различными вариантами нелинейной теории оболочек с учетом сдвига и обжатия можно познакомиться в [4—8].

Используемые в статье обозначения в значительной мере совпадают с принятыми в [3].

1. Пусть $\mathbf{R}(\alpha^1, \alpha^2, \alpha^3)$ — радиус-вектор материальной точки в деформированной конфигурации тела; $\alpha^1, \alpha^2, \alpha^3$ — криволинейные материальные координаты точки; $\mathbf{R}_i = \partial \mathbf{R} / \partial \alpha^i$ — основной координатный базис, а \mathbf{R}^j — отвечающий ему взаимный. Компоненты метрического тензора определяются соотношениями

$$g_{ij} = \mathbf{R}_i \mathbf{R}_j, \quad g^{ij} = \mathbf{R}^i \mathbf{R}^j \quad (1.1)$$

$$\mathbf{R}^j = g^{ja} \mathbf{R}_a \quad (1.2)$$

Здесь и ниже принимается правило суммирования по повторяющимся греческим индексам. Площадь i -й координатной площадки подсчитывается по формулам

$$dS_i = \sqrt{g g^{ii}} d\alpha^j d\alpha^k, \quad g = |g_{ij}| \quad (i \neq j \neq k \neq i) \quad (1.3)$$

Объем материального элемента равен $dV = \sqrt{g} d\alpha^1 d\alpha^2 d\alpha^3$. Наконец площадь элементарной косоугольной площадки dS_n с единичным вектором нормали к ней \mathbf{n} определяется соотношением

$$\mathbf{n} dS_n = \frac{dS_\alpha}{\sqrt{g^{\alpha\alpha}}} \mathbf{R}^\alpha, \quad n_i = \frac{1}{\sqrt{g^{ii}}} \frac{dS_i}{dS_n} \quad (1.4)$$

Соответствующие зависимости для недеформированной конфигурации получаются из выписанных добавлением нолика сверху.

При рассмотрении условий равновесия материального элемента объема в недеформированной конфигурации используют несимметричный тензор напряжений Пиала — Кирхгофа $J \sigma^{\alpha\beta} \mathbf{R}_\alpha \mathbf{R}_\beta$ ($J = dV/dV$ — кратность изменения объема). Вектор напряжений $\sigma_n = (dS_n/dS_n) \sigma_n$, отнесенный к единице площади до деформации подсчитывается по формуле

$$\sigma_n = \dot{n} J \sigma^{\alpha\beta} \mathbf{R}_\alpha \mathbf{R}_\beta = \dot{n}_\gamma J \sigma^{\gamma\beta} \mathbf{R}_\beta \quad (1.5)$$

Главные инварианты тензора деформации Коши

$$I_c = \dot{g}^{\alpha\beta} g_{\alpha\beta}, \quad II_c / III_c = \dot{g}_{\alpha\beta} g^{\alpha\beta}, \quad III_c = g / \dot{g} \quad (1.6)$$

В координатах нормально связанных со срединной поверхностью оболочки $\alpha^3 \equiv \xi$, $\mathbf{R}(\alpha^1, \alpha^2, \xi) = \mathbf{r}(\alpha^1, \alpha^2) + \xi \mathbf{n}(\alpha^1, \alpha^2)$. Здесь \mathbf{r} — радиус-вектор проекции точ-

ки на срединную поверхность, \mathbf{n} — единичный вектор нормали к поверхности. Далее (здесь и ниже буквенные индексы будут принимать значения 1 и 2):

$$a_{ij} = \mathbf{r}_i \mathbf{r}_j, \quad a^{ij} = \mathbf{r}^i \mathbf{r}^j, \quad b_{ij} = -\mathbf{r}_i \mathbf{n}_j, \quad b_j^i = b_{ja} \alpha^{ai}$$

$$(\mathbf{r}_i = \partial \mathbf{r} / \partial \alpha^i, \quad \mathbf{r}^i \cdot \mathbf{r}_i = \delta_i^i, \quad \mathbf{n}_i = \partial \mathbf{n} / \partial \alpha^i) \quad (1.7)$$

компоненты поверхностных тензоров: метрического и кривизны. При этом

$$\mathbf{r}_1 \times \mathbf{r}_2 = \sqrt{a} \mathbf{n}, \quad \mathbf{n} \times \mathbf{r}_1 = \sqrt{a} \mathbf{r}^2, \quad \mathbf{n} \times \mathbf{r}_2 = -\sqrt{a} \mathbf{r}^1, \quad (a = |a_{ij}| = a_{11}a_{22} - a_{12}^2) \quad (1.8)$$

$$\partial \mathbf{r}_i / \partial \alpha^j = \Gamma_{ij}^\alpha \mathbf{r}_\alpha + b_{ij} \mathbf{n}, \quad \partial \mathbf{r}^i / \partial \alpha^j = -\Gamma_{ja}^i \mathbf{r}^a + b_j^i \mathbf{n}$$

$$\frac{\partial \mathbf{n}}{\partial \alpha^j} = -b_{ja} \mathbf{r}^a = -b_j^a \mathbf{r}_a, \quad \Gamma_{ij}^h = \frac{1}{2} \left(\frac{\partial a_{j\beta}}{\partial \alpha^i} + \frac{\partial a_{i\beta}}{\partial \alpha^j} - \frac{\partial a_{ij}}{\partial \alpha^\beta} \right) a^{h\beta} \quad (1.9)$$

Для вектора тангенциальной нормали к линии на срединной поверхности \mathbf{v} справедливо соотношение

$$v_i ds_i = \sqrt{a} d\alpha^i \quad (i \neq j) \quad (1.10)$$

2. Радиусы-векторы произвольной материальной точки оболочки, до и после деформации, представим выражениями

$$\mathring{\mathbf{R}}(\alpha^1, \alpha^2; \xi) = \mathring{\mathbf{r}}(\alpha^1, \alpha^2) + \xi \mathring{\mathbf{n}}(\alpha^1, \alpha^2) \quad (2.1)$$

$$\mathbf{R}(\alpha^1, \alpha^2; \xi) = \mathbf{r}(\alpha^1, \alpha^2) + \lambda_\xi [\xi + 0,5\xi^2 \kappa_\xi(\alpha^1, \alpha^2)] \mathbf{m}(\alpha^1, \alpha^2)$$

$$\mathbf{m} = \mathbf{q} \cdot \mathbf{n} \quad (2.2)$$

Здесь $\mathring{\mathbf{r}}$, \mathbf{r} — радиусы-векторы проекций материальной точки на срединную (до деформации) материальную поверхность, $\mathring{\mathbf{n}}$, \mathbf{n} — единичные векторы нормалей к последней.

Далее $\mathbf{q} = \mathbf{Q}|_{\xi=0}$ — ортогональный тензор поворота [3], так что

$$\mathbf{m} \cdot \mathbf{m} = 1, \quad \mathbf{m} \cdot \partial \mathbf{m} / \partial \alpha^i = 0$$

$$a^{\alpha\beta} m_\alpha m_\beta + (m_n)^2 = a_{\alpha\beta} m^\alpha m^\beta + (m_n)^2 = m_\mu m^\mu + (m_n)^2 = 1$$

$$\mathbf{m} = m_\alpha \mathbf{r}^\alpha + m_n \mathbf{n} = m^\alpha \mathbf{r}_\alpha + m_n \mathbf{n}$$

$$\mathbf{n} = (\mathbf{m} - m_\mu \mathbf{r}^\mu) / m_n = (\mathbf{m} - m^\mu \mathbf{r}_\mu) / m_n \quad (2.3)$$

$$\frac{\partial \mathbf{m}}{\partial \alpha^i} = \left(a^{\gamma\mu} + \frac{m^\gamma m^\mu}{(m_n)^2} \right) \left(\frac{\partial \mathbf{m}}{\partial \alpha^i} \right)_\mu \mathbf{r}_\gamma + \frac{1}{m_n} \left(\frac{\partial \mathbf{m}}{\partial \alpha^i} \right)_n \mathbf{m}$$

$$\left(\frac{\partial \mathbf{m}}{\partial \alpha^i} \right)_n = -\frac{m^\gamma}{m_n} \left(\frac{\partial \mathbf{m}}{\partial \alpha^i} \right)_\gamma = \frac{m_\gamma}{m_n} \left(\frac{\partial \mathbf{m}}{\partial \alpha^i} \right)_\gamma$$

В отличие от гипотезы Кирхгофа материальное волокно, нормальное к материальной срединной поверхности до деформации, уже не нормально к ней после деформации — учитывается так называемый поперечный сдвиг. Функции λ_ξ , κ_ξ , как и в [1], характеризуют деформацию поперечного волокна.

Используя теперь зависимости (1.1), (1.7), (2.1) — (2.3), подсчитываем координатные векторы, основного и взаимного базисов, сохраняя везде (здесь и в дальнейшем), линейные по ξ слагаемые

$$\mathring{\mathbf{R}}_i = \mathring{\mathbf{r}}_i - \xi \mathring{b}_i^\alpha \mathring{\mathbf{r}}_\alpha, \quad \mathring{\mathbf{R}}_3 = \mathring{\mathbf{n}}$$

$$\mathring{\mathbf{R}}^i = \mathring{\mathbf{r}}^i + \xi \mathring{b}_\beta^i \mathring{\mathbf{r}}^\beta, \quad \mathring{\mathbf{R}}^3 = \mathring{\mathbf{n}} \quad (i, j = 1, 2) \quad (2.4)$$

$$\mathbf{R}_i = \mathbf{r}_i + \xi \left(\lambda_\xi \frac{\partial \mathbf{m}}{\partial \alpha^i} + \frac{\partial \lambda_\xi}{\partial \alpha^i} \mathbf{m} \right), \quad \mathbf{R}_3 = \lambda_\xi (1 + \xi \kappa_\xi) \mathbf{m}$$

$$R^j = \left(a^{\mu} + \frac{m^j m^{\mu}}{(m_n)^2} \right) r_{\mu} - \frac{m^j}{(m_n)^2} \mathbf{m} - \xi \left\{ \lambda_{\xi} \left(a^{\mu} + \frac{m^j m^{\mu}}{(m_n)^2} \right) \left(\frac{\partial \mathbf{m}}{\partial \alpha^{\beta}} \right)_{\mu} \left[\left(\alpha^{\gamma \beta} + \frac{\mu^{\gamma} m^{\beta}}{(m_n)^2} \right) r_{\gamma} - \frac{m^{\beta}}{(m_n)^2} \mathbf{m} \right] \right\} \quad (2.5)$$

$$R^3 = \frac{1}{\lambda_{\xi} m_n} \left[\frac{1}{m_n} (\mathbf{m} - m^{\mu} r_{\mu}) - \xi \left\{ \frac{1}{m_n} (\mathbf{m} - m^{\mu} r_{\mu}) \kappa_{\xi} + \left(\lambda_{\xi} \left(\frac{\partial \mathbf{m}}{\partial \alpha^{\beta}} \right)_n + \frac{\partial \lambda_{\xi}}{\partial \alpha^{\beta}} m_n \right) \left[\left(\alpha^{\mu \beta} + \frac{m^{\mu} m^{\beta}}{(m_n)^2} \right) r_{\mu} - \frac{m^{\beta}}{(m_n)^2} \mathbf{m} \right] \right\} \right]$$

Отсюда находим

$$\begin{aligned} \dot{g}_{ij} &= \dot{a}_{ij} - \xi 2 \dot{b}_{ij}, & \dot{g}_{\alpha 3} &= 0, & \dot{g}_{33} &= 1 \\ \dot{g}^{ij} &= \dot{a}^{ij} + \xi 2 \dot{b}^{ij}, & \dot{g}^{\alpha 3} &= 0, & \dot{g}^{33} &= 1 \end{aligned} \quad (2.6)$$

$$g_{ij} = a_{ij} + \xi \{I\}_{ij}, \quad g_{\alpha 3} = \lambda_{\xi} \left[m_i + \xi \left(\kappa_{\xi} m_i + \frac{\partial \lambda_{\xi}}{\partial a^i} \right) \right], \quad g_{33} = \lambda_{\xi}^2 (1 + \xi 2 \kappa_{\xi})$$

$$\begin{aligned} g^{ij} &= a^{ij} + \frac{m^i m^j}{(m_n)^2} - \xi \lambda_{\xi} \left(\frac{\partial \mathbf{m}}{\partial \alpha^{\beta}} \right)_{\gamma} \left[\left(a^{\nu \gamma} + \frac{m^{\nu} m^{\gamma}}{(m_n)^2} \right) \left(a^{i \beta} + \frac{m^i m^{\beta}}{(m_n)^2} \right) + \right. \\ &+ \left. \left(a^{\nu i} + \frac{m^{\nu} m^i}{(m_n)^2} \right) \left(a^{\beta \gamma} + \frac{m^{\beta} m^{\gamma}}{(m_n)^2} \right) \right] \end{aligned} \quad (2.7)$$

$$\begin{aligned} \lambda_{\xi} m_n g^{\beta 3} &= -\frac{m^{\beta}}{m_n} + \xi \left\{ \frac{m^{\beta}}{m_n} \kappa_{\xi} + \left(a^{\alpha \gamma} + \frac{m^{\alpha} m^{\gamma}}{(m_n)^2} \right) \times \right. \\ &\times \left. \left[\lambda_{\xi} \left(\frac{m^{\beta}}{m_n} \left(\frac{\partial \mathbf{m}}{\partial \alpha^{\beta}} \right)_{\gamma} - \left(\frac{\partial \mathbf{m}}{\partial \alpha^{\gamma}} \right)_n \right) - \frac{\partial \lambda_{\xi}}{\partial \alpha^{\gamma}} m_n \right] \right\} \end{aligned}$$

$$(\lambda_{\xi} m_n)^2 g^{33} = 1 + \xi 2 \left[-\kappa_{\xi} + \left(\lambda_{\xi} \left(\frac{\partial \mathbf{m}}{\partial \alpha^{\beta}} \right)_n + \frac{\partial \lambda_{\xi}}{\partial \alpha^{\beta}} m_n \right) \frac{m^{\beta}}{m_n} \right]$$

$$\{I\}_{ij} = \lambda_{\xi} \left[\left(\frac{\partial \mathbf{m}}{\partial \alpha^i} \right)_j + \left(\frac{\partial \mathbf{m}}{\partial \alpha^j} \right)_i \right] + \frac{\partial \lambda_{\xi}}{\partial \alpha^i} m_j + \frac{\partial \lambda_{\xi}}{\partial \alpha^j} m_i \quad (2.8)$$

Используя теперь соотношения (2.6), (2.7), (1.6) приходим к выражениям для главных инвариантов

$$I_c = \dot{a}^{\alpha \beta} a_{\alpha \beta} + \lambda_{\xi}^2 + \xi 2 \{ \dot{b}^{\alpha \beta} a_{\alpha \beta} + 0,5 \dot{a}^{\alpha \beta} \{I\}_{\alpha \beta} + \lambda_{\xi}^2 \kappa_{\xi} \}$$

$$\begin{aligned} \frac{II_c}{III_c} &= \dot{a}^{\alpha \beta} \left(a^{\alpha \beta} + \frac{m^{\alpha} m^{\beta}}{(m_n)^2} \right) + \frac{1}{(\lambda_{\xi} m_n)^2} = \xi 2 \left[-\frac{1}{2} \dot{a}^{\alpha \beta} \lambda_{\xi} \left(\frac{\partial \mathbf{m}}{\partial \alpha^{\mu}} \right)_{\gamma} \times \right. \\ &\times \left[\left(\alpha^{\beta \gamma} + \frac{m^{\beta} m^{\gamma}}{(m_n)^2} \right) \left(a^{\alpha \mu} + \frac{m^{\alpha} m^{\mu}}{(m_n)^2} \right) + \left(a^{\alpha \gamma} + \frac{m^{\alpha} m^{\gamma}}{(m_n)^2} \right) \left(a^{\beta \mu} + \frac{m^{\beta} m^{\mu}}{(m_n)^2} \right) \right] - \\ &- \dot{b}^{\alpha \beta} \left(a^{\alpha \beta} + \frac{m^{\alpha} m^{\beta}}{(m_n)^2} \right) - \frac{\kappa_{\xi}}{(\lambda_{\xi} m_n)^2} + \frac{1}{(\lambda_{\xi} m_n)^2} - \left(\lambda_{\xi} \left(\frac{\partial \mathbf{m}}{\partial \alpha^{\beta}} \right)_n + \frac{\partial \lambda_{\xi}}{\partial \alpha^{\beta}} m_n \right) \frac{m^{\beta}}{m_n} \right] \end{aligned} \quad (2.9)$$

$$\begin{aligned} III_c &= \lambda_{\xi}^2 \frac{a}{\alpha} \left[(m_n)^2 + \xi 2 \left\{ (m_n)^2 \kappa_{\xi} - \frac{\partial \lambda_{\xi}}{\partial \alpha^{\beta}} m^{\beta} + (m_n)^2 \dot{b}_{\alpha}^{\alpha} + \right. \right. \\ &+ \left. \left. 1/2 [a^{\beta \gamma} + (a^{\beta \mu} a^{\gamma \rho} - a^{\beta \gamma} a^{\mu \rho}) m_{\mu} m_{\rho}] \{I\}_{\beta \gamma} \right\} \right] \end{aligned}$$

Из последнего здесь выражения и условия несжимаемости $III_c = 1$ следует

$$\lambda_{\xi} = 1/(m_n \sqrt{a/\bar{a}})$$

$$\kappa_{\xi} = \frac{1}{(m_n)^2} \left[\frac{\partial \lambda_{\xi}}{\partial \alpha^{\beta}} m^{\beta} - (m_n)^2 \dot{b}_{\alpha}^{\alpha} - \frac{1}{2} [a^{\beta\gamma} + (a^{\beta\mu} a^{\gamma\rho} - a^{\beta\gamma} a^{\mu\rho}) m_{\mu} m_{\rho}] \{I\}_{\beta\gamma} \right] \quad (2.10)$$

Наконец, используя формулу (2.2) и представление для тензора поворота [3], получим

$$\mathbf{m} = \mathbf{q} \cdot \mathbf{n} = \cos \omega \mathbf{n} + \frac{\sin \omega}{\omega} \boldsymbol{\omega} \times \mathbf{n} + \frac{(1 - \cos \omega)}{(\omega)^2} (\boldsymbol{\omega} \cdot \mathbf{n}) \boldsymbol{\omega} \quad (2.11)$$

$$\boldsymbol{\omega} = \omega^{\alpha} \mathbf{r}_{\alpha} = \omega^1 \mathbf{r}_1 + \omega^2 \mathbf{r}_2 \quad (\omega_n = 0) \quad (2.12)$$

т. е. будем полагать, что переход от орта нормали к деформированной срединной поверхности к единичному вектору \mathbf{m} , определяющему положение поперечного волокна (нормального к срединной поверхности до деформации), задается двумя поворотами вокруг координатных осей деформированной срединной поверхности $\omega^{(1)}$ и $\omega^{(2)}$.

Из равенств (2.11), (2.12) находим

$$m_1 = \sqrt{a} \frac{\sin \omega}{\omega} \omega^2, \quad m_2 = -\sqrt{a} \frac{\sin \omega}{\omega} \omega^1, \quad m_n = \cos \omega$$

$$m^1 = \frac{1}{\sqrt{a}} \frac{\sin \omega}{\omega} \omega_2, \quad m^2 = -\frac{1}{\sqrt{a}} \frac{\sin \omega}{\omega} \omega_1 \quad (2.13)$$

$$\left(\omega = \sqrt{\omega_{\alpha} \omega^{\alpha}} = \sqrt{a_{\alpha\beta} \omega^{\alpha} \omega^{\beta}} = \sqrt{a^{\alpha\beta} \omega_{\alpha} \omega_{\beta}} \right)$$

При малых углах поворота ($\omega \ll 1$):

$$m_1 = \sqrt{a} \omega^2, \quad m_2 = -\sqrt{a} \omega^1, \quad m_n = 1, \quad m^1 = \frac{\omega_2}{\sqrt{a}}, \quad m^2 = -\frac{\omega_1}{\sqrt{a}} \quad (2.14)$$

3. Для сжимаемого материала симметричные компоненты двойного тензора напряжений связаны с деформацией соотношениями

$$J\sigma^{ij} = 2 \left\{ \frac{\partial \Phi}{\partial I_c} \dot{g}^{ij} + \frac{\partial \Phi}{\partial II_c} \left[(\dot{g}^{ij} \dot{g}^{\gamma\mu} - \dot{g}^{\gamma i} \dot{g}^{j\mu}) g_{\gamma\mu} + \dot{g}^{ij} g_{33} \right] + III_c \frac{\partial \Phi}{\partial III_c} g^{ij} \right\}$$

$$J\sigma^{\beta 3} = 2 \left\{ -\frac{\partial \Phi}{\partial II_c} \dot{g}^{i\mu} g_{\mu 3} + III_c \frac{\partial \Phi}{\partial III_c} g^{\beta 3} \right\} \quad (3.1)$$

$$J\sigma^{33} = 2 \left\{ \frac{\partial \Phi}{\partial I_c} + \frac{\partial \Phi}{\partial II_c} \dot{g}^{\gamma\mu} g_{\gamma\mu} + III_c \frac{\partial \Phi}{\partial III_c} g^{33} \right\}, \quad \Phi = \Phi(I_c, II_c, III_c)$$

для несжимаемого материала

$$\sigma^{ij} = 2 \left\{ \frac{\partial \Phi}{\partial I_c} \dot{g}^{ij} + \frac{\partial \Phi}{\partial II_c} [(\dot{g}^{ij} \dot{g}^{\gamma\mu} - \dot{g}^{\gamma i} \dot{g}^{j\mu}) g_{\gamma\mu} + \dot{g}^{ij} g_{33}] \right\} + p g^{ij}$$

$$\sigma^{\beta 3} = 2 \left\{ -\frac{\partial \Phi}{\partial II_c} \dot{g}^{i\mu} g_{\mu 3} \right\} + p g^{\beta 3} \quad (3.2)$$

$$\sigma^{33} = 2 \left\{ \frac{\partial \Phi}{\partial I_c} + \frac{\partial \Phi}{\partial II_c} \dot{g}^{\gamma\mu} g_{\gamma\mu} \right\} + p g^{33}$$

$$\Phi = \Phi(I_c, II_c) \quad (J = III_c = 1)$$

Сохраняя лишь линейные по ξ члены в разложении примем для сжимаемого материала

$$\begin{aligned}
\frac{\partial \Phi}{\partial I_c} &= \left(\frac{\partial \Phi}{\partial I_c} \right)_{(0)} + \xi \left\{ \left(\frac{\partial^2 \Phi}{(\partial I_c)^2} \right)_{(0)} I_c^{(1)} + \left(\frac{\partial^2 \Phi}{\partial \Pi_c \partial I_c} \right)_{(0)} \Pi_c^{(1)} + \left(\frac{\partial^2 \Phi}{\partial \Pi_c \partial I_c} \right)_{(0)} \Pi_c^{(1)} \right\} \\
\frac{\partial \Phi}{\partial \Pi_c} &= \left(\frac{\partial \Phi}{\partial \Pi_c} \right)_{(0)} + \xi \left\{ \left(\frac{\partial^2 \Phi}{\partial I_c \partial \Pi_c} \right)_{(0)} I_c^{(1)} + \right. \\
&+ \left. \left(\frac{\partial^2 \Phi}{(\partial \Pi_c)^2} \right)_{(0)} \Pi_c^{(1)} + \left(\frac{\partial^2 \Phi}{\partial \Pi_c \partial \Pi_c} \right)_{(0)} \Pi_c^{(1)} \right\} \\
\frac{\partial \Phi}{\partial \Pi_c} &= \left(\frac{\partial \Phi}{\partial \Pi_c} \right)_{(0)} + \xi \left\{ \left(\frac{\partial^2 \Phi}{\partial I_c \partial \Pi_c} \right)_{(0)} I_c^{(1)} + \right. \\
&+ \left. \left(\frac{\partial^2 \Phi}{\partial \Pi_c \partial \Pi_c} \right)_{(0)} \Pi_c^{(1)} + \left(\frac{\partial^2 \Phi}{(\partial \Pi_c)^2} \right)_{(0)} \Pi_c^{(1)} \right\}
\end{aligned} \tag{3.3}$$

Для несжимаемого материала следует опустить третье выражение, отбросить подчеркнутые слагаемые в первых двух и принять

$$p = p_{(0)} + \xi p_{(1)} \tag{3.4}$$

Подставив теперь в (3.1) ((3.2)) выражения (3.3) ((3.3), (3.4)), можно подсчитать выражения для компонент тензора напряжений.

Рассмотрим, например, несжимаемый материал типа неогукковского, для которого $\Phi = \Phi(I_c)$, и в первых двух из соотношений (3.3) отличны от нуля лишь

$$\left(\frac{\partial \Phi}{\partial I_c} \right)_{(0)} = \Phi_0' (I_c^{(0)}), \quad \left(\frac{\partial^2 \Phi}{(\partial I_c)^2} \right)_{(0)} = \Phi_0'' (I_c^{(0)})$$

При этом согласно (2.9) $I_c^{(0)} = \dot{a}^{\alpha\beta} a_{\alpha\beta} + \lambda_\xi^2$, $I_c^{(1)} = 2\dot{b}^{\alpha\beta} a_{\alpha\beta} + \dot{a}^{\alpha\beta} \{I\}_{\alpha\beta} + 2\lambda_\xi^2 \chi_\xi$. Принимая

$$\sigma^{ij} = \sigma_{(0)}^{ij} + \xi \sigma_{(1)}^{ij}, \quad \sigma^{i3} = \sigma_{(0)}^{i3} + \xi \sigma_{(1)}^{i3}, \quad \sigma^{33} = \sigma_{(0)}^{33} + \xi \sigma_{(1)}^{33} \tag{3.5}$$

из соотношений (3.2)–(3.4) находим

$$\begin{aligned}
\sigma_{(0)}^{ij} &= 2\dot{a}^{ij} \Phi_0' + (a^{ij} + m^i m^j / (m_n)^2) p_{(0)} \\
\sigma_{(0)}^{i3} &= -\frac{m^i}{m_n} \frac{p_{(0)}}{\lambda_\xi m_n}, \quad \sigma_{(0)}^{33} = 2\Phi_0' + \frac{p_{(0)}}{(\lambda_\xi m_n)^2} \\
\sigma_{(1)}^{ij} &= 2 \left\{ \dot{a}^{ij} [2\dot{b}^{\alpha\beta} a_{\alpha\beta} + \dot{a}^{\alpha\beta} \{I\}_{\alpha\beta} + 2\lambda_\xi^2 \chi_\xi] \Phi_0'' + 2\dot{b}^{ij} \Phi_0' \right\} - \lambda_\xi \left(\frac{\partial m}{\partial \alpha^\beta} \right)_\gamma \times \\
&\times \left[\left(a^{i\gamma} + \frac{m^i m^\gamma}{(m_n)^2} \right) \left(a^{j\beta} + \frac{m^j m^\beta}{(m_n)^2} \right) + \left(a^{i\gamma} + \frac{m^i m^\gamma}{(m_n)^2} \right) \times \right. \\
&\times \left. \left(a^{j\beta} + \frac{m^j m^\beta}{(m_n)^2} \right) \right] p_{(0)} + \left(a^{ij} + \frac{m^i m^j}{(m_n)^2} \right) p_{(1)} \\
\sigma_{(1)}^{33} &= 2 [2\dot{b}^{\alpha\beta} a_{\alpha\beta} + \dot{a}^{\alpha\beta} \{I\}_{\alpha\beta} + 2\lambda_\xi^2 \chi_\xi] \Phi_0'' + \\
&+ \frac{2}{(\lambda_\xi m_n)^2} \left[-\chi_\xi + \left(\lambda_\xi \left(\frac{\partial m}{\partial \alpha^\beta} \right)_n + \frac{\partial \lambda_\xi}{\partial \alpha^\beta} m_n \right) \frac{m^\beta}{m_n} \right] p_{(0)} + \frac{p_{(1)}}{(\lambda_\xi m_n)^2}
\end{aligned} \tag{3.6}$$

Выражения $\sigma_{(1)}^{i3}$ не выписываем, поскольку далее не понадобится.

Для определения функций $p_{(0)}$ и $p_{(1)}$ примем статическую (силовую) гипотезу Кирхгофа

$$\sigma^{33} = \sigma_{(0)}^{33} + \xi \sigma_{(1)}^{33} = 0 \tag{3.7}$$

Приравнивая поэтому нулю третье и пятое из выражений (3.6), получаем

$$p_{(0)} = -2 (\lambda_{\xi} m_n)^2 \Phi_0'$$

$$p_{(1)} = 2 (\lambda_{\xi} m_n)^2 \left\{ - [2b^{\alpha\beta} a_{\alpha\beta} + a^{\alpha\beta} \{I\}_{\alpha\beta} + 2\lambda_{\xi}^2 \chi_{\xi}] \Phi_0'' + \right. \quad (3.8)$$

$$\left. + 2 \left[-\chi_{\xi} + \left(\lambda_{\xi} \left(\frac{\partial \mathbf{m}}{\partial \alpha^{\beta}} \right)_n + \frac{\partial \lambda_{\xi}}{\partial \alpha^{\beta}} m_n \right) \frac{m^{\beta}}{m_n} \right] \Phi_0' \right\}$$

Подстановка полученных выражений в остальные три в (3.6) дает

$$\sigma_{(0)}^{ij} = 2 \left[a^{ij} - (\lambda_{\xi} m_n)^2 \left(a^{ij} + \frac{m^i m^j}{(m_n)^2} \right) \right] \Phi_0', \quad \sigma_{(0)}^{\beta} = 2\lambda_{\xi} m^{\beta} \Phi_0'$$

$$\sigma_{(1)}^{ij} = [2b^{\alpha\beta} a_{\alpha\beta} + a^{\alpha\beta} \{I\}_{\alpha\beta} + 2\lambda_{\xi}^2 \chi_{\xi}] \frac{\Phi_0''}{\Phi_0'} \sigma_{(0)}^{ij} + \left\{ 4b^{ij} + 2 (\lambda_{\xi} m_n)^2 \left(\lambda_{\xi} \left(\frac{\partial \mathbf{m}}{\partial \alpha^{\beta}} \right)_{\gamma} \times \right. \right. \quad (3.9)$$

$$\left. \left. \times \left[\left(a^{\gamma} + \frac{m^{\gamma} m^{\gamma}}{(m_n)^2} \right) \left(a^{\beta} + \frac{m^{\beta} m^{\beta}}{(m_n)^2} \right) + \left(a^{\gamma} + \frac{m^{\gamma} m^{\gamma}}{(m_n)^2} \right) \left(a^{\beta} + \frac{m^{\beta} m^{\beta}}{(m_n)^2} \right) \right] + \right.$$

$$\left. + 2 \left(a^{ij} + \frac{m^i m^j}{(m_n)^2} \right) \left[-\chi_{\xi} + \left(\lambda_{\xi} \left(\frac{\partial \mathbf{m}}{\partial \alpha^{\beta}} \right)_n + \frac{\partial \lambda_{\xi}}{\partial \alpha^{\beta}} m_n \right) \frac{m^{\beta}}{m_n} \right] \right\} \Phi_0'$$

Напомним, что величины λ_{ξ} и χ_{ξ} определяются выражениями (2.10).

Рассмотрим семейство потенциалов

$$\Phi = \frac{E}{2n \cdot 3^n} (I_c^n - 3^n) \quad (3.10)$$

Тогда

$$\Phi_0' = \frac{E}{2 \cdot 3^n} (I_c^{(0)})^{n-1}, \quad \Phi_0'' = \frac{E(n-1)}{2 \cdot 3^n} (I_c^{(0)})^{n-2}$$

4. Рассмотрим элементы поперечного сечения деформированной оболочки, бывшего до деформации ее нормальным сечением (фиг. 1). Подсчитаем главный вектор и главный момент действующих на выделенный элемент напряжений. Пусть dS_v^{ξ} и dS_v^{ξ} — площади элемента, до и после деформации.

При этом (рис. 1):

$$T_v dS_v^{\xi} = \int_{S_v} \sigma_v dS_v^{\xi}, \quad M_v dS_v^{\xi} = \int_{S_v} (\mathbf{R} - \mathbf{r}) \times \sigma_v dS_v^{\xi} \quad (4.1)$$

где T_v , M_v — векторы усилий и моментов в расчете на единицу длины срединной линии недеформированного нормального сечения.

Обозначим через $\hat{\mathbf{v}}^{\xi} = \hat{v}_\gamma^{\xi} \mathbf{R}^{\gamma}$, $\hat{\mathbf{v}} = \hat{v}_\gamma^i \mathbf{F}^{\gamma}$ — единичные векторы тангенциальных нормалей к недеформированному элементу (фиг. 1), сохраняя за $\hat{\mathbf{n}}$, \mathbf{n} обозначения для единичных векторов к (материальной) срединной поверхности. При этом согласно выражению (1.5), в котором $\hat{\mathbf{n}}$ заменено на вектор $\hat{\mathbf{v}}^{\xi}$, находим

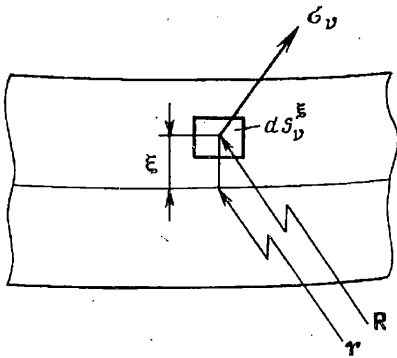
$$\sigma_v dS_v^{\xi} = \hat{\mathbf{v}}^{\xi} [J\sigma^{\alpha\beta} \hat{\mathbf{R}}_{\alpha} \mathbf{R}_{\beta} + J\sigma^{3\beta} \hat{\mathbf{R}}_3 \mathbf{R}_{\beta} + J\sigma^{\alpha 3} \hat{\mathbf{R}}_{\alpha} \mathbf{R}_3 +$$

$$+ J\sigma^{33} \hat{\mathbf{R}}_3 \mathbf{R}_3] dS_v^{\xi} = \hat{v}_\alpha^{\xi} [J\sigma^{\alpha\beta} \mathbf{R}_{\beta} + J\sigma^{\alpha 3} \mathbf{R}_3] dS_v^{\xi} \quad (4.2)$$

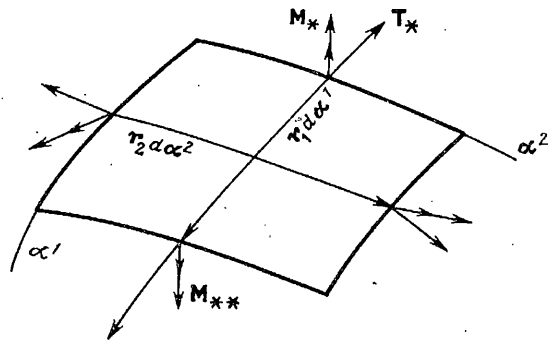
Согласно же формулам (1.3), (1.4):

$$\hat{v}_i^{\xi} dS_v^{\xi} = dS_i^{\xi} / \sqrt{g^{ii}} = \sqrt{g^{\circ}} d\alpha^i d\xi = \sqrt{g^{\circ}/a^{\circ}} dS_i^{\circ} / \sqrt{a^{ii}} =$$

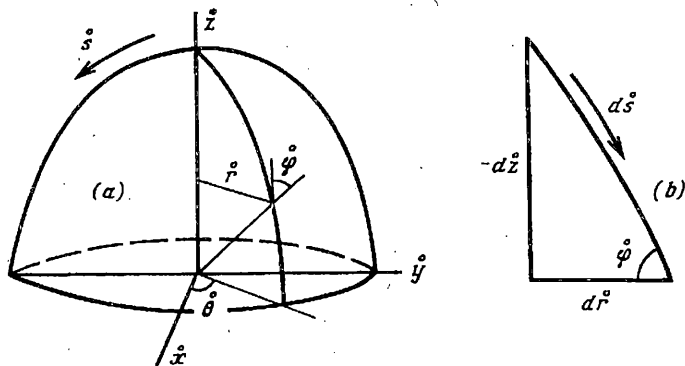
$$= \sqrt{g^{\circ}/a^{\circ}} \hat{v}_i dS_i^{\circ} = \sqrt{g^{\circ}/a^{\circ}} \hat{v}_i dS_i^{\circ} d\xi \quad (i \neq j)$$



Фиг. 1



Фиг. 2



Фиг. 3

Подставляя это выражение в предыдущее, а полученное в (4.1), получаем с учетом (2.5):

$$T_\nu = \dot{v}_\alpha (T^\alpha + T^\alpha_m m), \quad M_\nu = \dot{v}_\alpha M^\alpha$$

$$T^i = T^{\alpha\beta} r_\beta, \quad M^i = M^{\alpha\beta} m \times r_\beta \quad (4.3)$$

$$T^{ij} = \int_{-\hbar/2}^{\hbar/2} \left\{ J\sigma^{ij} + \xi \lambda_\xi \left(\frac{\partial m}{\partial \alpha^\gamma} \right)_\mu \left(a^{i\mu} + \frac{m^i m^\mu}{(m_n)^2} \right) J\sigma^{\alpha\gamma} \right\} \sqrt{\frac{\dot{g}}{\dot{a}}} d\xi$$

$$M^{ij} = \lambda_\xi \int_{-\hbar/2}^{\hbar/2} \left\{ J\sigma^{ij} + \xi \lambda_\xi \left(\frac{\partial m}{\partial \alpha^\gamma} \right)_\mu \left(a^{i\mu} + \frac{m^i m^\mu}{(m_n)^2} \right) J\sigma^{\alpha\gamma} \right\} \left(\xi + \frac{1}{2} \xi^2 \lambda_\xi \right) \sqrt{\frac{\dot{g}}{\dot{a}}} d\xi \quad (4.4)$$

$$T^i_m = \int_{-\hbar/2}^{\hbar/2} \left\{ \lambda_\xi (1 + \xi \lambda_\xi) J\sigma^{i3} + \xi \left[\frac{\partial \lambda_\xi}{\partial \alpha^\beta} - \lambda_\xi \frac{m^\mu}{(m_n)^2} \left(\frac{\partial m}{\partial \alpha^\beta} \right)_\mu \right] J\sigma^{i\beta} \right\} \sqrt{\frac{\dot{g}}{\dot{a}}} d\xi \quad (4.5)$$

Из соотношений же (4.3) следует

$$T_\nu = \dot{v} \cdot (T + T^\alpha_m \dot{r}_\alpha m), \quad M_\nu = \dot{v} \cdot M$$

$$T = T^{\alpha\beta} \dot{r}_\alpha \dot{r}_\beta, \quad M = M^{\alpha\beta} \dot{r}_\alpha (m \times r_\beta) \quad (4.6)$$

Отсюда устанавливается, что T^{ij} — контравариантные компоненты двойного тензора усилий; M^{ij} — контравариантные компоненты двойного тензора моментов, причем в формировании второго векторного базиса использована операция векторного умножения; T^i_m — величины, называемые перерезывающими усилиями.

В выражениях для моментов опустим подчеркнутые (малые по предположению) члены, что связано с предположениями

$$\sqrt{\overset{\circ}{g}/\overset{\circ}{a}} \simeq 1, \quad \xi(\partial \mathbf{m}/\partial \alpha^j) \ll 1, \quad \xi \lambda_\xi \ll 1 \quad (4.7)$$

С учетом сказанного ищем приближенное выражение для (симметричных) моментов

$$M^{ij} = \lambda_\xi \int_{-\hbar/2}^{\hbar/2} J \sigma^{ij} \xi d\xi = M^{ij} \quad (4.8)$$

Введем в рассмотрение симметричные условия Новожилова

$$S^{ij} = T^{ij} - \left(a^{i\mu} + \frac{m^i m^\mu}{(m_n)^2} \right) \left(\frac{\partial \mathbf{m}}{\partial \alpha^i} \right)_\mu M^{j\mu} \quad (4.9)$$

Согласно первому из выражений (4.4):

$$S^{ij} = \int_{-\hbar/2}^{\hbar/2} J \sigma^{ij} d\xi = S^{ij} \quad (4.10)$$

Вернемся к представлениям (3.5). Согласно выражениям (4.8) и (4.10):

$$S^{ij} = \overset{\circ}{h} (J \sigma^{ij})_{(0)}, \quad M^{ij} = \frac{\overset{\circ}{h}^3}{12} \lambda_\xi (J \sigma^{ij})_{(1)} \quad J \sigma^{ij} = \frac{S^{ij}}{\overset{\circ}{h}} + \frac{\xi}{(\overset{\circ}{h}/2)} \frac{6M^{ij}}{\lambda_\xi \overset{\circ}{h}^2} \quad (4.11)$$

Подстановка этого выражения, а также второго из (3.5) в (4.5) дает выражение для перерезывающих сил

$$T^i_{.m} = \lambda_\xi \left[\overset{\circ}{h} (J \sigma^{i\beta})_{(0)} + \frac{1}{12} \frac{\overset{\circ}{h}^3 \lambda_\xi}{\lambda_\xi} (J \sigma^{i\beta})_{(1)} \right] + \left[\frac{\partial \lambda_\xi}{\partial \alpha^\beta} - \frac{m^\mu}{(m_n)^2} \left(\frac{\partial \mathbf{m}}{\partial \alpha^\beta} \right)_\mu \right] M^{i\beta} \quad (4.12)$$

Имея целью ввести перерезывающие усилия простейшим образом, пренебрежем подчеркнутыми членами по сравнению с первыми слагаемыми, полагая тем самым равномерное по толщине распределение перерезывающих напряжений. Последнее характерно (в линейном подходе) для теории Тимошенко. Тогда получим

$$J \sigma^{i\beta} = \frac{1}{\lambda_\xi \overset{\circ}{h}} \left[T^i_{.m} - \left[\frac{\partial \lambda_\xi}{\partial \alpha^\beta} - \frac{m^\mu}{(m_n)^2} \left(\frac{\partial \mathbf{m}}{\partial \alpha^\beta} \right)_\mu \right] M^{i\beta} \right]$$

Из сопоставления полученного выражения с последним в (4.11) следует, что вклад в напряжения от подчеркнутого члена (порядка $M^{ij}/\overset{\circ}{h}$) пренебрежимо мал по сравнению с тем, что дают моменты в (4.11). Отбрасывая его, получаем окончательно

$$T^i_{.m} = \overset{\circ}{h} \lambda_\xi (J \sigma^{i\beta})_{(0)} \quad (4.13)$$

5. Рассмотрим условия равновесия элемента деформированной срединной поверхности, ограниченного координатными линиями $\alpha^1, \alpha^1 + d\alpha^1$ и $\alpha^2, \alpha^2 + d\alpha^2$ (фиг. 2). Для этого подсчитаем главный вектор и главный момент приложенных к нему усилий, моментов и внешних сил

$$M_* = -M^1 \sqrt{\overset{\circ}{a}} d\alpha^2, \quad T_* = - (T^1 + T^1_{.m} m) \sqrt{\overset{\circ}{a}} d\alpha^2$$

$$M_{**} = M^1 \sqrt{\overset{\circ}{a}} d\alpha^2 + \frac{\partial}{\partial \alpha^1} [M^1 \sqrt{\overset{\circ}{a}} d\alpha^2] d\alpha^1$$

$$T_{**} = (T^1 + T^1_{.m} m) \sqrt{\overset{\circ}{a}} d\alpha^2 + \frac{\partial}{\partial \alpha^1} [T^1 + T^1_{.m} m] \sqrt{\overset{\circ}{a}} d\alpha^2] d\alpha^1$$

Напомним, что введенные выше усилия и моменты относятся к единице недеформированного контура. При этом на линии $\alpha^1 = \text{const}$: $d\alpha^1 = 0$, $\dot{v}_1 d\dot{s}_1 = \sqrt{\overset{\circ}{a}} d\alpha^2$, $\dot{v}_2 d\dot{s}_2 = 0$. Поэтому согласно (4.3) на пару сторон элемента $\alpha^1 = \text{const}$, $\alpha^1 + d\alpha^1 = \text{const}$ действуют силы

$$\left\{ (\Gamma^1 + T^1_{,m} \mathbf{m}) \sqrt{\overset{\circ}{a}} d\alpha^2 + \frac{\partial}{\partial \alpha^1} [(\Gamma^1 + T^1_{,m} \mathbf{m}) \sqrt{\overset{\circ}{a}} d\alpha^2] d\alpha^1 \right\} - \\ - (\Gamma^1 + T^1_{,m} \mathbf{m}) \sqrt{\overset{\circ}{a}} d\alpha^2 = \frac{\partial \sqrt{\overset{\circ}{a}} (\Gamma^1 + T^1_{,m} \mathbf{m})}{\partial \alpha^1} d\alpha^1 d\alpha^2$$

Добавим сюда аналогичные слагаемые для другой пары сторон и поверхностную силу $\mathbf{q} \sqrt{\overset{\circ}{a}} d\alpha^1 d\alpha^2$, где \mathbf{q} — интенсивность поверхностной нагрузки в расчете на единицу площади деформированной срединной поверхности. В результате получаем, приравнявая нулю подсчитанный главный вектор,

$$\left[\frac{\partial \sqrt{\overset{\circ}{a}} (\Gamma^1 + T^1_{,m} \mathbf{m})}{\partial \alpha^1} + \frac{\partial \sqrt{\overset{\circ}{a}} (\Gamma^2 + T^2_{,m} \mathbf{m})}{\partial \alpha^2} + \mathbf{q} \sqrt{\overset{\circ}{a}} \right] d\alpha^1 d\alpha^2 = 0 \quad (5.1)$$

Составляя выражение для главного момента, получаем прежде всего аналогичные слагаемые

$$[\partial \sqrt{\overset{\circ}{a}} \mathbf{M}^1 / \partial \alpha^1 + \partial \sqrt{\overset{\circ}{a}} \mathbf{M}^2 / \partial \alpha^2] d\alpha^1 d\alpha^2$$

К ним необходимо добавить главный момент, создаваемый парами сил (см. фиг. 2):

$$\mathbf{r}_1 d\alpha^1 \times (\Gamma^1 + T^1_{,m} \mathbf{m}) \sqrt{\overset{\circ}{a}} d\alpha^2 + \mathbf{r}_2 d\alpha^2 \times (\Gamma^2 + T^2_{,m} \mathbf{m}) \sqrt{\overset{\circ}{a}} d\alpha^1$$

Приравнявая нулю сумму полученных слагаемых, приходим к условию равенства нулю главного момента

$$\left[\frac{\partial \sqrt{\overset{\circ}{a}} \mathbf{M}^1}{\partial \alpha^1} + \frac{\partial \sqrt{\overset{\circ}{a}} \mathbf{M}^2}{\partial \alpha^2} + \mathbf{r}_1 \times \sqrt{\overset{\circ}{a}} (\Gamma^1 + T^1_{,m} \mathbf{m}) + \right. \\ \left. + \mathbf{r}_2 \times \sqrt{\overset{\circ}{a}} (\Gamma^2 + T^2_{,m} \mathbf{m}) \right] d\alpha^1 d\alpha^2 = 0 \quad (5.2)$$

После сокращения в равенствах (5.1) и (5.2) множителя $d\alpha^1 d\alpha^2$ получаем векторные уравнения равновесия

$$\frac{\partial \sqrt{\overset{\circ}{a}} (\Gamma^\beta + T^\beta_{,m} \mathbf{m})}{\partial \alpha^\beta} + \sqrt{\overset{\circ}{a}} \mathbf{q} = 0 \quad (5.3)$$

$$\frac{\partial \sqrt{\overset{\circ}{a}} \mathbf{M}^\beta}{\partial \alpha^\beta} + \mathbf{r}_\beta \times \sqrt{\overset{\circ}{a}} (\Gamma^\beta + T^\beta_{,m} \mathbf{m}) + \sqrt{\overset{\circ}{a}} \mathbf{K} = 0$$

где \mathbf{K} — плотность распределенного момента. С помощью соотношений (1.9), (2.3), (4.6) получаем отсюда пять скалярных уравнений

$$\frac{\partial \sqrt{\overset{\circ}{a}} T^{\beta j}}{\partial \alpha^\beta} + (\Gamma'_{\beta\mu} - \frac{m^j}{m_n} b_{\beta\mu}) \sqrt{\overset{\circ}{a}} T^{\beta\mu} + \\ + \left(a^{\beta j} + \frac{m^j m^\gamma}{(m_n)^2} \right) \left(\frac{\partial \mathbf{m}}{\partial \alpha^\beta} \right)_\gamma \sqrt{\overset{\circ}{a}} T^{\beta}_{,m} + \sqrt{\overset{\circ}{a}} q^j = 0 \quad (j, \beta, \gamma, \mu = 1, 2) \\ \frac{\partial \sqrt{\overset{\circ}{a}} T^{\beta}_{,m}}{\partial \alpha^\beta} - \frac{m^\gamma}{(m_n)^2} \left(\frac{\partial \mathbf{m}}{\partial \alpha^\beta} \right)_\gamma \sqrt{\overset{\circ}{a}} T^{\beta}_{,m} + \frac{b_{\beta\mu}}{m_n} \sqrt{\overset{\circ}{a}} T^{\beta\mu} + \sqrt{\overset{\circ}{a}} q_m = 0 \quad (5.4)$$

$$\frac{\partial \sqrt{\overset{\circ}{a}} M^{\beta j}}{\partial \alpha^\beta} + (\Gamma'_{\beta\gamma} - \frac{m^j}{m_n} b_{\beta\gamma}) \sqrt{\overset{\circ}{a}} M^{\beta\gamma} - \frac{m^\gamma}{(m_n)^2} \left(\frac{\partial \mathbf{m}}{\partial \alpha^\beta} \right)_\gamma \sqrt{\overset{\circ}{a}} M^{\beta j} -$$

$$-\sqrt{a} T'_{.m} + \sqrt{a} \frac{m_2 K_m + K_{3-j}}{m_n} = 0$$

6. При осесимметричной деформации оболочка вращения остается оболочкой вращения. В качестве материальных координат примем (фиг. 3, а) длину дуги меридиана $\overset{\circ}{s}$ и угол $\overset{\circ}{\theta}$ недеформированной срединной поверхности. При этом $\alpha^1 = \overset{\circ}{s}$, $\alpha^2 = \overset{\circ}{\theta}$. В силу предположенной осесимметричности деформации $\theta = \overset{\circ}{\theta}$ и

$$\overset{\circ}{x} = \overset{\circ}{r}(\overset{\circ}{s}) \cos \overset{\circ}{\theta}, \quad \overset{\circ}{y} = \overset{\circ}{r}(\overset{\circ}{s}) \sin \overset{\circ}{\theta}, \quad \overset{\circ}{z} = \overset{\circ}{z}(\overset{\circ}{s})$$

$$x = r(\overset{\circ}{s}) \cos \overset{\circ}{\theta}, \quad y = r(\overset{\circ}{s}) \sin \overset{\circ}{\theta}, \quad z = z(\overset{\circ}{s})$$

Из фиг. 3, в находим $((\dots)') = d/d\overset{\circ}{s}$:

$$\overset{\circ}{r}' = \cos \overset{\circ}{\varphi}, \quad \overset{\circ}{z}' = -\sin \overset{\circ}{\varphi} \quad (6.1)$$

Пусть λ_s и λ_θ — главные кратности удлинений срединной поверхности вдоль меридиана и параллели. Из фиг. 3, а следует

$$\lambda_s = ds/d\overset{\circ}{s}, \quad \lambda_\theta = r/\overset{\circ}{r} \quad (6.2)$$

Используя эти равенства, а также рисунок, аналогичный фиг. 3, в, но составленный применительно к деформированной конфигурации, получаем

$$r' = \lambda_s \cos \varphi, \quad z' = -\lambda_s \sin \varphi \quad (6.3)$$

С учетом полученных выражений подсчитываем по формулам (1.7), (1.9):

$$\overset{\circ}{a}_{11} = 1, \quad \overset{\circ}{a}_{22} = \overset{\circ}{r}^2, \quad \overset{\circ}{a}_{12} = 0, \quad \overset{\circ}{a} = \overset{\circ}{r}^2$$

$$\overset{\circ}{a}^{11} = 1, \quad \overset{\circ}{a}^{22} = \overset{\circ}{r}^{-2}, \quad \overset{\circ}{a}^{12} = 0$$

$$\overset{\circ}{b}_1^1 = -\overset{\circ}{\varphi}', \quad \overset{\circ}{b}_2^2 = -\sin \overset{\circ}{\varphi} / \overset{\circ}{r}, \quad \overset{\circ}{b}_1^2 = \overset{\circ}{b}_2^1 = 0$$

$$\overset{\circ}{b}^{11} = -\overset{\circ}{\varphi}', \quad \overset{\circ}{b}^{22} = -\sin \overset{\circ}{\varphi} / \overset{\circ}{r}^3, \quad \overset{\circ}{b}^{12} = 0$$

$$a_{11} = \lambda_s^2, \quad a_{22} = (\overset{\circ}{r}\lambda_\theta)^2, \quad a_{12} = 0, \quad a = (\overset{\circ}{r}\lambda_s\lambda_\theta)^2$$

$$a^{11} = \lambda_s^{-2}, \quad a^{22} = (\overset{\circ}{r}\lambda_\theta)^{-2}, \quad a^{12} = 0 \quad (6.4)$$

$$b_1^1 = -\lambda_s^{-1}\varphi', \quad b_2^2 = -(\overset{\circ}{r}\lambda_\theta)^{-1} \sin \varphi, \quad b_1^2 = b_2^1 = 0$$

$$b_{11} = -\lambda_s\varphi', \quad b_{22} = -\overset{\circ}{r}\lambda_\theta \sin \varphi, \quad b_{12} = 0$$

$$\Gamma_{11}^1 = \lambda_s^{-1}\lambda_s', \quad \Gamma_{12}^2 = \overset{\circ}{r}^{-1}\lambda_s\lambda_\theta^{-1} \cos \varphi$$

$$\Gamma_{22}^1 = -\overset{\circ}{r}\lambda_s^{-1}\lambda_\theta \cos \varphi, \quad \Gamma_{11}^2 = \Gamma_{22}^2 = \Gamma_{12}^1 = 0$$

Переходя к физическим компонентам, положим

$$\omega_{(2)} = \omega, \quad \omega_{(1)} = \omega_{(3)} = 0 \quad (6.5)$$

Отсюда и из соотношений (2.11)—(2.13), (2.3), (2.8) последовательно получаем

$$m_1 = \lambda_s \sin \omega, \quad m^1 = \lambda_s^{-1} \sin \omega, \quad m_2 = m^2 = 0, \quad m_n = \cos \omega$$

$$\left(\frac{\partial m}{\partial \alpha^1}\right)_1 = \lambda_s (\varphi' + \omega') \cos \omega, \quad \left(\frac{\partial m}{\partial \alpha^2}\right)_2 = \overset{\circ}{r}\lambda_\theta \sin (\varphi + \omega) \quad (6.6)$$

$$\left(\frac{\partial m}{\partial \alpha^1}\right)_n = -(\varphi' + \omega') \sin \omega, \quad \left(\frac{\partial m}{\partial \alpha^1}\right)_2 = \left(\frac{\partial m}{\partial \alpha^2}\right)_1 = \left(\frac{\partial m}{\partial \alpha^2}\right)_n = 0$$

$$\{I\}_{11} = 2\lambda_s\lambda_s' (\varphi' + \omega') \cos \omega + 2\lambda_s'\lambda_s \sin \omega$$

$$\{I\}_{22} = 2\lambda_s\lambda_\theta\overset{\circ}{r} \sin \omega, \quad \{I\}_{12} = \{I\}_{21} = 0 \quad (6.7)$$

Согласно (2.10) имеем для несжимаемого материала

$$\lambda_\xi = 1/(\lambda_s \lambda_\theta \cos \omega) \quad (6.8)$$

$$\kappa_\xi = -\lambda_s^{-1} \lambda_\theta^{-2} \frac{\sin(\varphi + \omega)}{\dot{r} \cos \omega} - \lambda_s^{-2} \lambda_\theta^{-1} \frac{\varphi' + \omega'}{\cos^2 \omega} + \dot{\varphi}' + \frac{\sin \dot{\varphi}}{\dot{r}}$$

Уравнения равновесия (5.4) принимают следующий вид:

$$\begin{aligned} (\dot{r}T_s)' + \operatorname{tg} \omega \varphi' (\dot{r}T_s) - \left[\frac{\cos \varphi}{\dot{r}} - \operatorname{tg} \omega \frac{\sin \varphi}{\dot{r}} \right] (\dot{r}T_\theta) + \\ + \frac{(\varphi' + \omega')}{\cos \omega} (\dot{r}T_{sm}) + \dot{r} \lambda_s \lambda_\theta q_s = 0 \\ (\dot{r}T_{sm})' - \frac{1}{\cos \omega} \left[\varphi' (\dot{r}T_s) + \frac{\sin \varphi}{\dot{r}} (\dot{r}T_\theta) \right] - \\ - \operatorname{tg} \omega (\varphi' + \omega') (\dot{r}T_{sm}) + \dot{r} \lambda_s \lambda_\theta q_m = 0 \end{aligned} \quad (6.9)$$

$$(\dot{r}M_s)' - \operatorname{tg} \omega \omega' (\dot{r}M_s) - \left[\frac{\cos \varphi}{\dot{r}} - \operatorname{tg} \omega \frac{\sin \varphi}{\dot{r}} \right] (\dot{r}M_\theta) - \lambda_s (\dot{r}T_{sm}) + \frac{\dot{r} \lambda_s \lambda_\theta}{\cos \omega} K_\theta = 0$$

Здесь, как и в [1]:

$$\begin{aligned} T_s = T_{(11)} = T^{11} \sqrt{\dot{a}_{11} \dot{a}_{11}} = T^{11} \lambda_s, \quad S_s = S^{11} \lambda_s, \quad M_s = M^{11} \lambda_s \\ T_{sm} = T_{(1)m} = T^1_m \sqrt{\dot{a}_{11}} = T^1_m \\ T_\theta = T_{(22)} = T^{22} \sqrt{\dot{a}_{22} \dot{a}_{22}} = T^{22} \dot{r}^2 \lambda_\theta, \quad S_\theta = S^{22} \dot{r}^2 \lambda_\theta, \quad M_\theta = M^{22} \dot{r}^2 \lambda_\theta \end{aligned} \quad (6.10)$$

физические компоненты двойных тензоров усилий и моментов (отнесенные по первому индексу к недеформированной, а по второму — к деформированной конфигурации срединной поверхности) и вектора перерезывающих усилий.

Уравнения равновесия (6.9) можно записать в более удобном, не содержащем производные от φ и $(\varphi + \omega)$, виде

$$(\dot{r}T_z)' = -\dot{r} \lambda_s \lambda_\theta q_z, \quad (\dot{r}T_r)' = T_\theta - \dot{r} \lambda_s \lambda_\theta q_r \quad (6.11)$$

$$(\dot{r}M_s \cos \omega)' = M_\theta \cos(\varphi + \omega) + \lambda_s \dot{r} T_{sm} \cos \omega - \dot{r} \lambda_s \lambda_\theta K_\theta$$

$$T_z = -T_s \sin \varphi + T_{sm} \cos(\varphi + \omega), \quad T_r = T_s \cos \varphi + T_{sm} \sin(\varphi + \omega) \quad (6.12)$$

$$q_z = -q_s \sin \varphi + q_m \cos(\varphi + \omega), \quad q_r = q_s \cos \varphi + q_m \sin(\varphi + \omega)$$

С помощью полученных зависимостей выражения (3.9) принимают вид

$$\begin{aligned} \sigma_{(0)}^{11} = 2(1 - \lambda_s^{-4} \lambda_\theta^{-2} / \cos^2 \omega) \Phi_0' \\ \dot{r}^2 \sigma_{(0)}^{22} = 2(1 - \lambda_s^{-2} \lambda_\theta^{-4}) \Phi_0', \quad \sigma_{(0)}^{13} = 2\lambda_s^{-2} \lambda_\theta^{-1} \operatorname{tg} \omega \Phi_0' \\ \sigma_{(1)}^{11} = 4 \left(1 - \frac{\lambda_s^{-4} \lambda_\theta^{-2}}{\cos^2 \omega} \right) \left\{ \lambda_\theta^{-1} \left(1 - \frac{\lambda_s^{-4} \lambda_\theta^{-2}}{\cos^4 \omega} \right) (\varphi' + \omega') + \lambda_s^{-1} \left(1 - \frac{\lambda_s^{-2} \lambda_\theta^{-4}}{\cos^2 \omega} \right) \times \right. \\ \times \frac{\sin(\varphi + \omega)}{\dot{r} \cos \omega} + \lambda_\xi' \lambda_s \sin \omega - \lambda_s^2 \left(1 - \frac{\lambda_s^{-4} \lambda_\theta^{-2}}{\cos^2 \omega} \right) \dot{\varphi}' - \lambda_\theta^2 \left(1 - \frac{\lambda_s^{-2} \lambda_\theta^{-4}}{\cos^2 \omega} \right) \times \\ \times \frac{\sin \dot{\varphi}}{\dot{r}} \left. \right\} \Phi_0'' + 4 \left\{ \lambda_s^{-6} \lambda_\theta^{-3} \left(1 + \frac{1}{\cos^2 \omega} \right) \frac{(\varphi' + \omega')}{\cos^2 \omega} + \lambda_s^{-5} \lambda_\theta^{-4} \frac{\sin(\varphi + \omega)}{\dot{r} \cos^3 \omega} + \right. \\ \left. + \lambda_\xi' \lambda_s^{-5} \lambda_\theta^{-2} \frac{\sin \omega}{\cos^2 \omega} - \left(1 + \frac{\lambda_s^{-4} \lambda_\theta^{-2}}{\cos^2 \omega} \right) \dot{\varphi}' - \frac{\lambda_s^{-4} \lambda_\theta^{-2}}{\cos^2 \omega} \frac{\sin \dot{\varphi}}{\dot{r}} \right\} \Phi_0' \end{aligned} \quad (6.13)$$

$$\begin{aligned}
r^2 \sigma_{(1)}^{22} = & 4 \left(1 - \lambda_s^{-2} \lambda_\theta^{-4} \right) \left\{ \lambda_\theta^{-1} \left(1 - \frac{\lambda_s^{-4} \lambda_\theta^{-2}}{\cos^4 \omega} \right) (\varphi' + \omega') + \right. \\
& + \lambda_s^{-1} \left(1 - \frac{\lambda_s^{-2} \lambda_\theta^{-4}}{\cos^2 \omega} \right) \frac{\sin(\varphi + \omega)}{r \cos \omega} + \lambda_\xi' \lambda_s \sin \omega - \lambda_s^2 \left(1 - \frac{\lambda_s^{-4} \lambda_\theta^{-2}}{\cos^2 \omega} \right) \dot{\varphi}' - \\
& - \lambda_\theta^2 \left(1 - \frac{\lambda_s^{-2} \lambda_\theta^{-4}}{\cos^2 \omega} \right) \frac{\sin \dot{\varphi}}{r} \left. \right\} \Phi_0'' + \\
& + 4 \left\{ \left(1 + \frac{1}{\cos^2 \omega} \right) \lambda_s^{-3} \lambda_\theta^{-6} \frac{\sin(\varphi + \omega)}{r \cos \omega} + \lambda_s^{-4} \lambda_\theta^{-5} (\varphi' + \omega') + \right. \\
& + \lambda_\xi' \lambda_s^{-3} \lambda_\theta^{-4} \sin \omega - \lambda_s^{-2} \lambda_\theta^{-4} \dot{\varphi}' - (1 + \lambda_s^{-2} \lambda_\theta^{-4}) \frac{\sin \dot{\varphi}}{r} \left. \right\} \Phi_0'
\end{aligned}$$

Введем обозначения по аналогии с [1]:

$$\begin{aligned}
\kappa_s &= \lambda_s^{-2} \lambda_\theta^{-1} (\varphi' + \omega') - \dot{\varphi}', \quad \kappa_\theta = \lambda_s^{-1} \lambda_\theta^{-2} \frac{\sin(\varphi + \omega)}{r \cos \omega} - \frac{\sin \dot{\varphi}}{r} \\
\kappa_s' &= \frac{\lambda_s^{-2} \lambda_\theta^{-1}}{\cos^2 \omega} (\varphi' + \omega') - \dot{\varphi}', \quad \kappa_\theta' = \frac{\lambda_s^{-1} \lambda_\theta^{-2}}{\cos^2 \omega} \frac{\sin(\varphi + \omega)}{r \cos \omega} - \frac{\sin \dot{\varphi}}{r}
\end{aligned}$$

и новую величину $\kappa_\theta = \lambda_s^2 \kappa_s + \lambda_\theta^2 \kappa_\theta + \lambda_\xi^2 \kappa_\xi + \lambda_\xi' \lambda_s \sin \omega$; тогда $\kappa_\xi = -(\kappa_s' + \kappa_\theta)$, а последние два выражения (6.13) примут вид

$$\sigma_{(1)}^{11} = 2 \sigma_{(0)}^{11} \left(\frac{\Phi_0''}{\Phi_0'} \kappa_\theta - \dot{\varphi}' \right) + 4 \frac{\lambda_s^{-4} \lambda_\theta^{-2}}{\cos^2 \omega} (\kappa_s + \kappa_s' + \kappa_\theta + \lambda_\xi' \lambda_s^{-1} \sin \omega) \Phi_0' \quad (6.14)$$

$$r^2 \sigma_{(1)}^{22} = 2 r^2 \sigma_{(0)}^{22} \left(\frac{\Phi_0''}{\Phi_0'} \kappa_\theta - \frac{\sin \dot{\varphi}}{r} \right) + 4 \lambda_s^{-2} \lambda_\theta^{-4} (\kappa_\theta + \kappa_\theta' + \kappa_s + \lambda_\xi' \lambda_s^{-1} \sin \omega) \Phi_0'$$

Подчеркнутые члены, по-видимому, можно отбросить.

Из соотношений (4.11), (4.13), (6.10), (6.13) и (6.11) получаем выражения для усилий и моментов

$$T_s \simeq S_s = 2 \dot{h} \lambda_s \left(1 - \frac{\lambda_s^{-4} \lambda_\theta^{-2}}{\cos^2 \omega} \right) \Phi_0'$$

$$T_\theta \simeq S_\theta = 2 \dot{h} \lambda_\theta (1 - \lambda_s^{-2} \lambda_\theta^{-4}) \Phi_0' \quad (6.15)$$

$$T_{sm} = 2 \dot{h} \lambda_s^{-3} \lambda_\theta^{-2} \frac{\sin \omega}{\cos^2 \omega} \Phi_0'$$

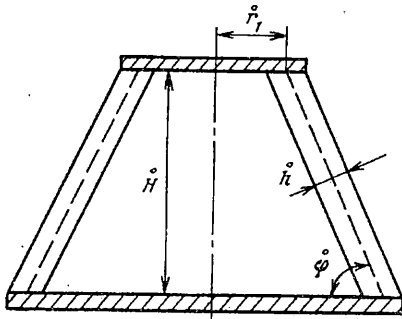
$$M_s = \frac{\dot{h}^3}{3} \frac{\lambda_s^{-4} \lambda_\theta^{-3}}{\cos^3 \omega} (\kappa_s + \kappa_s' + \kappa_\theta + \lambda_\xi' \lambda_s^{-1} \sin \omega) \Phi_0' \quad (6.16)$$

$$M_\theta = \frac{\dot{h}^3}{3} \frac{\lambda_s^{-3} \lambda_\theta^{-4}}{\cos \omega} (\kappa_\theta + \kappa_\theta' + \kappa_s + \lambda_\xi' \lambda_s^{-1} \sin \omega) \Phi_0'$$

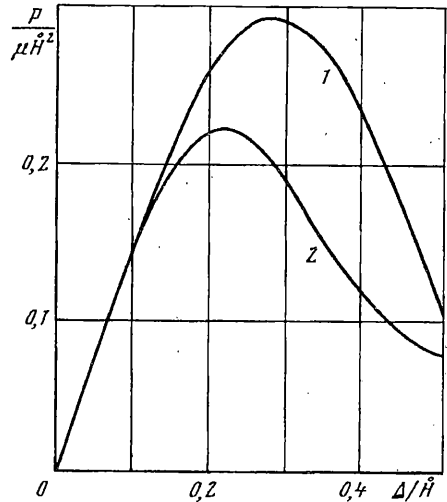
Если в (6.9), (6.15), (6.16) положить $\omega = 0$, отбросив третье уравнение в (6.15), и взять неогукковский материал ($n = 1$ в (3.10)), то получится система уравнений, основанная на гипотезах Кирхгофа и совпадающая с системой построенной в [1].

Отметим, что в случае осесимметричной деформации учет сдвига не привел к повышению порядка разрешающей системы дифференциальных уравнений и, как и в [1], остался равным 6.

7. Рассмотрим задачу о сжатии конического амортизатора с привулканизированными к торцам металлическими пластинами (фиг. 4). Ли-



Фиг. 4



Фиг. 5

нейные размеры амортизатора, отнесенные к высоте \dot{H} , следующие: $\dot{r}_1 = 0,3$, $\dot{h} = 0,217$. Угол наклона образующей конуса $\dot{\varphi} = 60^\circ$. Считаем, что на нижнем основании имеют место условия заделки $\dot{s} = \dot{s}_2$: $r = \dot{r}$, $z = 0$, $(\varphi + \omega) = \dot{\varphi}$, а на верхнем — скользящий шарнир $\dot{s} = \dot{s}_1$: $r = \dot{r}$, $z = H - \Delta$, $M_s = 0$.

На фиг. 5 показана зависимость сжимающая сила — осадка; приведены две расчетные кривые: 1 — соответствует теория без учета сдвига [1], 2 — построена по предложенным уравнениям. Кривые построены для случая неогуковского материала. Наблюдаемое существенное уменьшение жесткости амортизатора при учете поперечного сдвига, как и следовало ожидать, связано с появлением дополнительной степени свободы в модели.

При проведении расчетов оценивалась и значимость четвертого слагаемого в круглых скобках формул (6.16). Оказалось, что величина вклада этого слагаемого в каждой точке меридиана амортизатора более чем на порядок меньше суммы первых трех. По-видимому, всегда им можно пренебрегать.

СПИСОК ЛИТЕРАТУРЫ

1. Черных К. Ф. Нелинейная теория изотропно упругих тонких оболочек // Изв. АН СССР. МТТ. 1980. № 2. С. 148—159.
2. Черных К. Ф. Теория тонких оболочек из эластомеров (резиноподобных материалов) // Успехи механики. 1983. Т. 6. С. 111—147.
3. Черных К. Ф. Нелинейная теория упругости в машиностроительных расчетах. Л.: Машиностроение, 1986. 336 с.
4. Айнола Л. Я. Нелинейная теория типа Тимошенко для упругих оболочек // Изв. АН ЭССР. Серия физ.-мат. и техн. наук. 1965. Т. 14. № 3. С. 337—344.
5. Галимов К. З. К нелинейной теории тонких оболочек типа Тимошенко // Изв. АН СССР. МТТ. 1976. № 4. С. 155—166.
6. Амбарцумян С. А. Общая теория анизотропных оболочек. М.: Наука, 1974. 446 с.
7. Теория оболочек с учетом поперечного сдвига / Под ред. К. З. Галимова. Казань: Изд-во Казанского ун-та, 1977. 212 с.
8. Рикардс Р. В., Тетерс Г. А. Устойчивость оболочек из композиционных материалов. Рига: Зинатне, 1974. 310 с.